

О СОБСТВЕННЫХ КОЛЕБАНИЯХ И СЕЙСМОСТОЙКОСТИ ТРЕХСЛОЙНЫХ НЕОДНОРОДНЫХ ОРТОТРОПНЫХ ПРЯМОУГОЛЬНЫХ ПЛАСТИНОК

С. Н. Гарайсаев

Аспирант

Кафедра «Теоретическая и строительная механика»

Азербайджанский

архитектурно-строительный университет

ул. А. Султанова, 5, г. Баку,

Азербайджан, Аз1073

E-mail: fisayev@qu.edu.az

У статті досліджується задача про сейсмостійкість та власні коливання тришарових неоднорідних ортотропних прямокутних пластинок, шари яких виготовлені з різних неперервно неоднорідних матеріалів. Використовуючи гіпотези Кірхгофа - Лява для всієї товщини елемента, отримані системи рівнянь руху пластинки. У разі шарнірного закріплення країв пластинки побудовано рішення задачі і знайдена формула для визначення частоти власних коливань пластинки

Ключові слова: тришаровий, ортотропні пластинки, неоднорідний, пружні характеристики, коливання, амплітудно-частотні характеристики

В статье исследуется задача о сейсмостойкости и собственных колебаниях трехслойных неоднородных ортотропных прямоугольных пластинок, слои которых изготовлены из различных непрерывно неоднородных материалов. Используя гипотезы Кирхгофа-Лява для всей толщины элемента, получены системы уравнений движения пластинки. В случае шарнирного закрепления краев пластинки построено решение задачи и найдена формула для определения частоты собственных колебаний пластинки

Ключевые слова: трехслойный, ортотропные пластинки, неоднородный, упругие характеристики, колебание, амплитудно-частотные характеристики

1. Введение

Как известно, в различных отраслях техники – машиностроении, судостроении, строительстве сооружений различного назначения широко используются элементы конструкции типа тонкостенных пластин и оболочек различного очертания.

Последние годы большое применение получили многослойные конструкции. Это, в первую очередь, связано с интенсивным использованием в промышленности новых искусственных материалов. Применение в строительстве и других областях техники подобных конструкций ставит перед инженером-исследователем повышенные требования к оценке прочности, устойчивости и амплитудно-частотных характеристик, так как при различных условиях работы и режимах нагружения возникает ряд вопросов, которые требуют решения новых задач напряженно-деформированного состояния и определения критических параметров [1].

Поэтому возникает необходимость учета влияния реальных физико-механических свойств материала слоев конструкции, режима и условия их работы и построения новых эффективных методик расчета, в которых учитываются вышеуказанные специфические особенности [2].

Многие вопросы прочности, устойчивости и колебаний многослойных элементов конструкций, рабо-

тающих в пределах упругости, в литературе исследованы достаточно, однако в этих работах в основном рассмотрены элементы конструкции с изотропными однородными слоями [3].

Во многих случаях слоистые конструкции изготавливаются из анизотропных неоднородно-упругих и неупругих материалов. Причиной проявления неоднородности являются технология изготовления конструкций, влияние нейтронного облучения и элементарных частиц, термическая обработка, неоднородность составов и т. д.

В зависимости от процесса изготовления и геометрии конструкции, упругие характеристики могут зависеть от одной или нескольких координат точек тела.

Вопросы устойчивости и колебаний слоистых конструкций с учетом неоднородности в литературе изучены недостаточно. Поэтому в данной статье приводится постановка и решение задачи о колебании и сейсмостойкости трехслойных неоднородных ортотропных прямоугольных пластинок.

2. Анализ литературных данных

В статье [4] исследуется задача устойчивости и колебаний непризматических слоистых призматических элементов мембран. В [5] дана постановка и исследова-

на задача о колебании двухслойных цилиндрических оболочек из функционально неоднородного материала. В [6] изучаются собственные колебания симметрично слоистых цилиндрических оболочек из материала с переменными характеристиками. В статье [7] дана постановка и исследована собственные колебания нано-пластинок на основе трехмерной теории упругости. В [8] проанализированы аэроупругая устойчивость и бифуркация слоистых панелей из нелинейного материала. В [9] задача о собственных колебаниях слоистых композитных пластинок исследована на основе метода конечных элементов. В статье [10] исследуется сейсмический контроль высоконапряженных элементов на основе трехмерной теории.

3. Постановка задачи

При моделировании задачи считается, что после удаления основных сейсмических воздействий на конструкцию в трехслойной пластинке происходят вибрации типа собственных колебаний и исследуются характеристики этих колебаний.

Рассмотрим трехслойную прямоугольную пластинку, изготовленную из неоднородного ортотропного материала. Координатная система выбрана следующим образом: оси OX и OY расположены в срединной плоскости среднего слоя пластинки, ось OZ – направлена перпендикулярно им.

Связь между компонентами напряжений и деформаций на основе обобщенного закона Гука имеет вид

$$\begin{aligned} \sigma_{11}^i &= \lambda_{11}^i \varepsilon_{11} + \lambda_{12}^i \varepsilon_{22}, \\ \sigma_{22}^i &= \lambda_{21}^i \varepsilon_{11} + \lambda_{22}^i \varepsilon_{22}, \quad \sigma_{12}^i = \lambda_{33}^i \varepsilon_{12} \quad (i=1,2,3). \end{aligned} \quad (1)$$

Здесь предполагается, что упругие характеристики материала слоев являются непрерывными функциями координаты толщины z .

$$\lambda_{ij}^{i,k} = \lambda_{ij}^{i,k} \cdot a_i^k(z).$$

Используем гипотезу Кирхгофа-Лява для всей толщины элемента пластинки

$$\varepsilon_{11} = e_{11} - z x_{11}, \varepsilon_{22} = e_{22} - z x_{22}, \varepsilon_{12} = e_{12} - z x_{12}, \quad (2)$$

где e_{11} , e_{22} , e_{12} и x_{11} , x_{22} , x_{12} – бесконечно малые изменения деформации и кривизны срединной плоскости.

Компоненты усилий и моментов вычисляются по формуле:

$$\begin{aligned} T_{ij} &= \int_{-h_1-h/2}^{-h/2} \sigma_{ij}^1 dz + \int_{-h/2}^{h/2} \sigma_{ij}^2 dz + \int_{h/2}^{h/2+h_2} \sigma_{ij}^3 dz, \\ M_{ij} &= \int_{-h_1-h/2}^{-h/2} \sigma_{ij}^1 z dz + \int_{-h/2}^{h/2} \sigma_{ij}^2 z dz + \int_{h/2}^{h/2+h_2} \sigma_{ij}^3 z dz, \end{aligned} \quad (3)$$

где h_1 , h и h_2 – толщины соответствующих слоев. С учетом (1), (2) из (3) получим:

$$T_{11} = \bar{\lambda}_{11}^2 A_{11}^0 e_{11} + \bar{\lambda}_{12}^2 A_{12}^0 e_{22} - \bar{\lambda}_{11}^2 A_{11}^1 x_{11} - \bar{\lambda}_{12}^2 A_{12}^1 x_{22}, \dots, \quad (4)$$

$$M_{11} = \bar{\lambda}_{11}^2 A_{11}^1 e_{11} + \bar{\lambda}_{12}^2 A_{12}^1 e_{22} - \bar{\lambda}_{11}^2 A_{11}^2 x_{11} - \bar{\lambda}_{12}^2 A_{12}^2 x_{22}, \dots \quad (5)$$

В этих формулах A_{ij}^k – обобщенные жесткостные характеристики.

4. Получение уравнений движения пластинки

Как известно [1], уравнения движения прямоугольных пластинок состоит из следующих уравнений:

$$\frac{\partial T_{11}}{\partial x} + \frac{\partial T_{12}}{\partial y} = \frac{\gamma_1 h_1 + \gamma h + \gamma_2 h_2}{g} \cdot \frac{\partial^2 u}{\partial t^2}, \quad (6)$$

$$\frac{\partial T_{12}}{\partial x} + \frac{\partial T_{22}}{\partial y} = \frac{\gamma_1 h_1 + \gamma h + \gamma_2 h_2}{g} \cdot \frac{\partial^2 v}{\partial t^2}.$$

$$\begin{aligned} \frac{\partial^2 M_{11}}{\partial x^2} + 2 \frac{\partial^2 M_{12}}{\partial x \partial y} + \frac{\partial^2 M_{22}}{\partial y^2} + T_{11} x_{11} + \\ + 2 T_{12} x_{12} + T_{22} x_{22} = \frac{\gamma_1 h_1 + \gamma h + \gamma_2 h_2}{g} \cdot \frac{\partial^2 w}{\partial t^2}. \end{aligned} \quad (7)$$

Здесь γ_1 , γ , γ_2 – удельные веса материала слоев, g – ускорение силы тяжести, u , v , w – перемещения точек срединной плоскости по направлениям x , y , z – соответственно.

Используем связь между деформациями и кривизнами с компонентами перемещений:

$$e_{11} = \frac{\partial u}{\partial x}, \quad e_{22} = \frac{\partial v}{\partial y}, \quad e_{12} = \frac{\partial u}{\partial y} + \frac{\partial v}{\partial x}, \quad (8)$$

$$x_{11} = \frac{\partial^2 w}{\partial x^2}, \quad x_{22} = \frac{\partial^2 w}{\partial y^2}, \quad x_{12} = \frac{\partial^2 w}{\partial x \partial y}.$$

С учетом (4), (5), (8) из (6), (7) получается система уравнений движения относительно перемещений рассматриваемой пластинки в общем виде:

$$\begin{aligned} L_i(U_i) = \frac{\gamma_1 h_1 + \gamma h + \gamma_2 h_2}{g} \cdot \frac{\partial^2 u_j}{\partial t^2}, \\ (i, j = 1, 2, 3), \quad (u_j = u, v, w). \end{aligned} \quad (9)$$

Здесь L_i – полученные дифференциальные операторы.

Следует отметить, что деформации срединной плоскости пластинки должны удовлетворять уравнению совместности деформации:

$$\frac{\partial^2 e_{11}}{\partial y^2} + \frac{\partial^2 e_{22}}{\partial x^2} - 2 \frac{\partial^2 e_{12}}{\partial x \partial y} = 0. \quad (10)$$

Как видно, полная система уравнений движения рассматриваемой трехслойной пластинки в точной постановке состоит из (9) и (10).

5. Приближенная постановка задачи

В общем виде решение системы уравнений (9) связано с большими математическими трудностями. Поэтому в практике часто используется приближенная постановка задачи. В этом случае предполагается, что в системе (6) можно отбросить инерционные силы. Тогда эти уравнения будут удовлетворены тождественно, если ввести функцию напряжений F следующими соотношениями:

$$T_{11} = \frac{\partial^2 F}{\partial y^2}, \quad T_{22} = \frac{\partial^2 F}{\partial x^2}, \quad T_{12} = -\frac{\partial^2 F}{\partial x \partial y}. \tag{11}$$

Для преобразования уравнений (7), (10) к необходимому виду, необходимо выразить e_{ij} через T_{ij} и x_{ij} из соотношений (4). Тогда после некоторых преобразований из (4) находим:

$$\begin{aligned} e_{11} &= \alpha_{11} T_{11} + \alpha_{12} T_{22} + b_{11} x_{11} + b_{12} x_{22}, \\ e_{22} &= \alpha_{21} T_{11} + \alpha_{22} T_{22} + b_{21} x_{11} + b_{22} x_{22}, \\ e_{12} &= \alpha_{33} T_{12} + b_{33} x_{12}. \end{aligned} \tag{12}$$

Подставляя (12) в выражения (5) для моментов, получим:

$$\begin{aligned} M_{11} &= r_{11} T_{11} + r_{12} T_{22} + R_{11} x_{11} + R_{12} x_{22}, \\ M_{22} &= r_{21} T_{11} + r_{22} T_{22} + R_{21} x_{11} + R_{22} x_{22}, \\ M_{12} &= r_{33} T_{12} + R_{33} x_{12}. \end{aligned} \tag{13}$$

В этих формулах коэффициенты α_{ij} , b_{ij} , r_{ij} , R_{ij} выражаются через обобщенные жесткостные характеристики.

Подставляя выражения (12), (13) в уравнения (7) и (10), после некоторых преобразований получим следующую систему уравнений собственных колебаний рассматриваемой пластинки:

$$\begin{aligned} D_{11} \frac{\partial^4 w}{\partial x^4} + D_{13} \frac{\partial^4 w}{\partial x^2 \partial y^2} + D_{12} \frac{\partial^4 w}{\partial y^4} + \\ + D_{21} \frac{\partial^4 F}{\partial x^4} + D_{23} \frac{\partial^4 F}{\partial x^2 \partial y^2} + D_{22} \frac{\partial^4 F}{\partial y^4} + \\ + \frac{1}{g} (\gamma_1 h_1 + \gamma h + \gamma_2 h_2) \frac{\partial^2 w}{\partial t^2} = 0, \end{aligned} \tag{14}$$

$$\begin{aligned} d_{11} \frac{\partial^4 F}{\partial x^4} + d_{13} \frac{\partial^4 F}{\partial x^2 \partial y^2} + d_{12} \frac{\partial^4 F}{\partial y^4} + \\ + d_{21} \frac{\partial^4 w}{\partial x^4} + d_{23} \frac{\partial^4 w}{\partial x^2 \partial y^2} + d_{22} \frac{\partial^4 w}{\partial y^4} = 0. \end{aligned} \tag{15}$$

Здесь d_i и D_i выражаются через обобщенные жесткостные характеристики пластинки.

6. Решение задачи

Таким образом, в приближенной постановке задачи уравнение собственных колебаний трехслойной неоднородной ортотропной пластинки получены в виде (14) и (15).

При шарнирном закреплении краев квадратной пластинки для прогиба и функции напряжения можно принять следующие выражение:

$$\begin{aligned} w &= w_{mn} \sin \frac{m\pi x}{a} \sin \frac{n\pi y}{b} \cos \omega_{mn} t, \\ \varphi &= \varphi_{mn} \sin \frac{m\pi x}{a} \sin \frac{n\pi y}{b} \cos \omega_{mn} t. \end{aligned} \tag{17}$$

Здесь m, n – число полуволн по сторонам, ω_{mn} – частота собственных колебаний пластинки.

Подставляя (17) в уравнение (15), получим:

$$\begin{aligned} W_{mn} &= -D_0 \varphi_{mn}, \\ D_0 &= \frac{d_{21} \left(\frac{m\pi}{a}\right)^4 + d_{23} \left(\frac{m\pi}{a}\right)^2 \left(\frac{n\pi}{b}\right)^2 + d_{22} \left(\frac{n\pi}{b}\right)^4}{d_{11} \left(\frac{m\pi}{a}\right)^4 + d_{13} \left(\frac{m\pi}{a}\right)^2 \left(\frac{n\pi}{b}\right)^2 + d_{12} \left(\frac{n\pi}{b}\right)^4}. \end{aligned} \tag{18}$$

Подставляя (17) и (18) в (14) после некоторых преобразований для определения частоты собственных колебаний пластинки получим формулу

$$\begin{aligned} \omega_{mn} &= \sqrt{\frac{g}{\gamma_1 h_1 + \gamma h + \gamma_2 h_2}} \times \\ &\times \left\{ D_0 \left[D_{21} \left(\frac{m\pi}{a}\right)^4 + D_{23} \left(\frac{m\pi}{a}\right)^2 \left(\frac{n\pi}{b}\right)^2 + D_{22} \left(\frac{n\pi}{b}\right)^4 \right] + \right. \\ &\left. + d_{11} \left(\frac{m\pi}{a}\right)^4 + d_{13} \left(\frac{m\pi}{a}\right)^2 \left(\frac{n\pi}{b}\right)^2 + d_{12} \left(\frac{n\pi}{b}\right)^4 \right\}^{1/2}. \end{aligned} \tag{19}$$

При конкретных видах функций неоднородности материала слоев, частота собственных колебаний рассматриваемой пластинки определяется на основе (19).

7. Численные расчеты и анализ частоты собственных колебаний

Для проведения численных расчетов, функции неоднородности материала слоев принимались в следующем виде:

$$a_{11}^1(z) = 1 + \mu_1 \frac{z}{h_1}, \quad a_{11}(z) = 1 + \mu \frac{z}{h}, \quad a_{11}^2(z) = 1 + \mu_2 \frac{z}{h_2}. \tag{20}$$

Результаты численных расчетов представлены на рис 1.

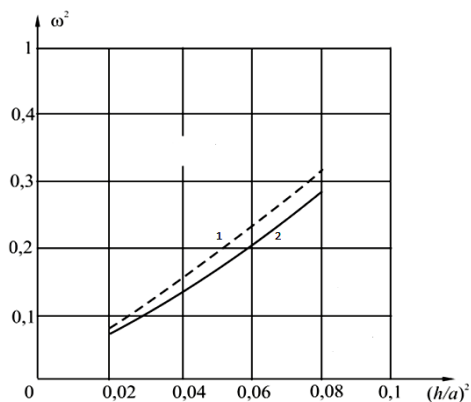


Рис. 1. График зависимости частоты собственных колебаний от гибкости пластинки. Здесь пунктирной линией отмечено решение аналогичной задачи для однородной пластинки. 1: $\mu_1=\mu_2=\mu=0$; 2: $\mu_1=\mu_2=\mu=1$

8. Выводы

В статье дана постановка задачи и получена система уравнений движения трехслойных неоднородных ортотропных прямоугольных пластинок в точном и приближенном вариантах.

Получено решение задачи о собственных колебаниях трехслойных пластинок и найдена формула для определения частоты собственных колебаний.

Анализ проведенных численных расчетов показывает, что неоднородность и ортотропность материала слоев пластинки может существенно влиять на критические параметры пластинки.

Литература

1. Вольмир, А. С. Устойчивость деформируемых систем [Текст] / А. С. Вольмир. – М.:Наука, 1967. – 984 с.
2. Ломакин, В. А. Теория упругости неоднородных тел [Текст] / Ломакин, В. А. – М., изд-во МГУ, 1978. – 245 с.
3. Алфутов, Н. А. Расчеты многослойных пластин и оболочек из композиционных материалов [Текст] / Н. А. Алфутов, П. А. Зиновьев, Б. Г. Попов. – М.:Машиностроение, 1984. – 264 с.
4. Rajasekaran, S. Stability and Vibration analysis of non-prismatic thin-walled composite spatial member of generic section [Text] / S. Rajasekaran, K. Nalinaa // J.Appl.Mechanics. – 2010. – Vol.77, № 3. – P. 310–319.
5. Arshad, S. H. Vibration analysis of bilayered FGM cylindrical shells [Text] / S. H. Arshad, M. N. Naem, N. Sultana, A. G. Shah, Z. Iqbal // J.Appl.Mechanics. – 2011. – Vol. 81, № 8. – P. 319–343.
6. Viswanathan, K. K. Jang Hyun Lee. Zainal Abdul Aziz. Free vibration of symmetric angle-ply laminated cylindrical shells of variable thickness [Text] / K. K. Viswanathan, Jang Hyun Lee, Zainal Abdul Aziz // J.Acta Mechanica. – 2011. – Vol. 221, № 10. – P. 309–319.
7. Alibeigloo, A. Free vibration analysis of nano-plate using three-dimensional theory of elasticity [Text] / A. Alibeigloo // J. Acta Mechanica. – 2011. – Vol. 222, № 11. – P. 149–159.
8. Li, Peng The aeroelastic stability and bifurcation structure of subsonic nonlinear thin panels subjected to external excitation [Text] / Peng Li, Yiren Yang, Wei Xu, Guo Chen // J.Arch.Appl.Mech. – 2012. – Vol. 82. – P. 1251–1267.
9. Avades, K. Free vibration analysis of laminated composite plates with elastical lyrestained edges using FEM [Text] / K. Avades, N. D. Sharma // CentralEuropeanJournalof Engineering. – 2013. – Vol. 3, № 2. – P. 306–315.
10. Peng, Zhang Seismic Control of Power Transmission Tower Using Pounding TMD [Text] / Zhang Peng, Song Ganding, Li Hong-Nan, Lin You-Xin // J. Eng. Mech. – 2013. – Vol. 139 (10). – P. 1395–1406.